



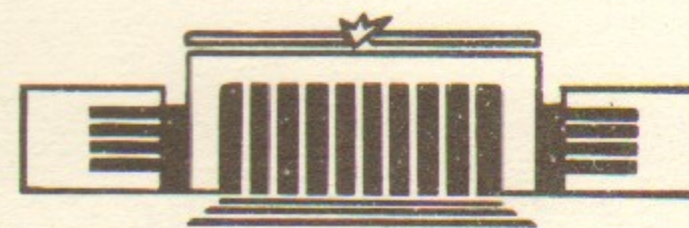
ИНСТИТУТ ЯДЕРНОЙ ФИЗИКИ СО АН СССР

19

Д.В. Пестриков

БЫСТРЫЕ ОДНОБОРОТНЫЕ НЕУСТОЙЧИВОСТИ  
ПОПЕРЕЧНЫХ КОГЕРЕНТНЫХ КОЛЕБАНИЙ  
СГРУППИРОВАННЫХ ПУЧКОВ.

ПРЕПРИНТ 85-105



НОВОСИБИРСК

## АННОТАЦИЯ

В работе изучаются особенности развития поперечных однооборотных неустойчивостей с временами нарастания, превышающими период синхротронных колебаний частиц в накопителе. Обсуждаются факторы, влияющие на устойчивость колебаний и методы демпфирования быстрых поперечных когерентных неустойчивостей.

1. Широкий класс когерентных неустойчивостей пучка в накопителе обусловлен взаимодействием частиц с низкодобротными элементами вакуумной камеры, наведенные поля в которых исчезают за время, меньшее периода обращения. Такие неустойчивости принято называть однооборотными. В отсутствие специальных мер однооборотные неустойчивости могут быть одной из причин, ограничивающих величину накопленного тока. Сейчас хорошо известны как основные методы расчетов такого рода ограничений, так и классификация возможных типов неустойчивостей пучков в накопителях [1, 2]. Вместе с тем ряд частных вопросов в теории недостаточно исследован.

Обычный путь изучения когерентной устойчивости пучка связан с вычислением спектра собственных частот линеаризованной системы уравнений Власова и установлением условий неотрицательности декрементов когерентных колебаний. Сама возможность существования такого спектра налагает определенные условия на характер взаимодействия частиц, а именно, взаимодействие должно быть таким, чтобы возмущение любой части пучка вызывало бы отклик остальных частиц, действующих на это возмущение. Другими словами, взаимодействие должно замыкать обратную связь частиц по пучку и тем обеспечивать самосогласованность наведенных полей. Нарушение условия самосогласованности приводит к отсутствию у пучка нормальных когерентных колебаний и, соответственно, к отсутствию корней у формально выписанных дисперсионных уравнений.

В настоящей работе мы рассмотрим один из примеров такого нарушения—задачу об однооборотных быстрых неустойчивостях поперечных когерентных колебаний сгруппированного пучка. В от-

личие от синхротронных неустойчивостей сгруппированного пучка, время развития которых  $\tau_k$  должно заметно превышать периоды синхротронных колебаний частиц ( $2\pi/\omega_c$ ), мы будем считать неустойчивость быстрой, если выполнено обратное условие:

$$\tau_k \omega_c \ll 1. \quad (1)$$

Такой случай широко известен в теории когерентной устойчивости как модель «жесткого сгустка» и часто применяется для оценки декрементов когерентных колебаний сгруппированных пучков (см. например, [1, 3]).

Специфической чертой однооборотных неустойчивостей является то, что они вызываются действием на частицы запаздывающих наведенных полей, исчезающих за время оборота в машине ( $2\pi/\omega_s$ ). В этих условиях выполнение неравенства (1) приводит к тому, что развитие колебаний в хвостовой части пучка никак не сказывается на движении головных частиц. Поэтому действующие на пучок поля не являются самосогласованными. Развитие колебаний в таком пучке обусловлено резонансной раскачкой задних частиц передними и обладает рядом особенностей, отличных от развития в пучке самосогласованных когерентных колебаний.

Следует заметить, что круг задач, в которых выполнено условие (1), достаточно широк. Помимо действительно быстрых неустойчивостей пучка в синхротроне, сюда же относятся, например, задача обеспечения когерентной устойчивости релятивистского пучка в линейном ускорителе. К сожалению, публикации по этому поводу в [4, 5] носят скорее рекомендательный характер.

2. Основные особенности развития в пучке быстрых однооборотных неустойчивостей можно продемонстрировать на простой задаче о взаимодействии пучка с согласованной пластиной. Как известно [1, 6], участок вакуумной камеры, содержащий такую пластину, представляет собой отрезок двусвязного волновода, в котором возможно распространение ТЕМ волн с частотами  $0 < \omega < c/l_{\perp}$  ( $l_{\perp}$  — поперечный размер камеры).

Мы ограничимся исследованием устойчивости аксиальных колебаний пучка. Тогда можно считать, что колебания частиц относительно равновесной траектории описывается формулами:

$$z = a \cos \psi, \quad p_z = \gamma m \omega_s dz/d\theta, \quad \Delta p = p - p_s, \\ \dot{\psi} = \omega_z = \omega_0 (\Delta p) v_z (\Delta p), \quad \theta = \theta_s + \varphi, \quad \dot{\theta}_s = \omega_s t, \quad (2)$$

$$I_z = \frac{p_s v_z a^2}{2R_0}$$

Здесь использованы обозначения работы [1]. Формулы (2) осуществляют каноническое преобразование от переменных  $(p_z, z)$  к переменным действие-фаза бетатронных колебаний  $(I, \psi)$ . Интегралами продольного движения при выполнении (1) являются  $\varphi$  и  $\Delta p$ .

В соответствии с общими методами линейной теории когерентных колебаний [1, 6] полагаем, что состояние пучка в отсутствие когерентных колебаний описывается функцией распределения

$$f_0 = F(I) f(\Delta p) \varrho(\varphi), \quad \int d\Gamma f_0 = 1, \quad (3)$$

а когерентным колебаниям отвечает добавление к  $f_0$  малой нестационарной части

$$\tilde{f} = f_0 + \tilde{f} = f_0 + \sum_m \tilde{f}_m(I, \Delta p, \varphi, t) e^{im\psi}. \quad (4)$$

Целые числа  $m$  определяют мультипольность колебания.

Как показано в [1], линейризация и применение метода усреднения к уравнениям Власова приводят к интегральному уравнению для Фурье-амплитуд

$$\tilde{f}_{m\omega} = \int_0^{2\pi} \frac{d\theta_s}{2\pi} \int_0^{\infty} dt \tilde{f}_m(\dots, t) e^{i\omega t}. \quad (5)$$

Для аксиальных колебаний ( $\omega = m\omega_z$ ) это уравнение может быть записано в виде [1]

$$\tilde{f}_{m\omega} = \frac{i\tilde{f}_{m0}}{\omega - \omega_m} + N \bar{L}_{m,\omega}(I, \varphi) \frac{m \partial f_0 / \partial I}{\omega - \omega_m}, \quad (6)$$

где  $\omega_m = m\omega_z$ , а  $\bar{L}$  — среднее по периоду обращения значение лагранжиана взаимодействия частиц с наведенными полями:

$$\bar{L}_{m\omega} = \frac{e}{c} \int_0^{2\pi} \frac{d\theta_s}{2\pi} (\vec{\sigma} \vec{A}(\vec{r}, t))_{m\omega}.$$

При получении уравнения (6) было опущено слагаемое

$$\omega'_0 \Delta p \frac{\partial \tilde{f}}{\partial \varphi} = \omega_c \varphi \frac{\partial \tilde{f}}{\partial \varphi},$$

описывающее продольную подвижность частиц сгустка. Ниже бу-

дет видно, что при выполнении условия (1), вклад этого слагаемого в  $f_m(t)$  несуществен.

Учитывая в (6) только ту часть поля, которая отвечает излучению частиц в двусвязный волновод, перепишем  $\bar{L}_{m\omega}$  в виде (см. [6])

$$\bar{L}_{m\omega} = e^2 \int_{-\infty}^{\infty} \frac{dk}{2\pi} \int_{-\infty}^{\infty} dn \frac{(kv_s - \omega_{mn})^2 U_m(I)}{k^2 c^2 - (\omega_{mn} + i\Delta)^2} |b_{kn}|^2 \times \\ \times \int d\Gamma' \tilde{f}_{m\omega} U_m(I) e^{in(\varphi - \varphi')}. \quad (7)$$

Здесь

$$b_{kn} = \int_0^{\theta_0} \frac{d\theta_s}{2\pi} e^{i(kR_0 - n)\theta},$$

а

$$U_m = \int_0^{2\pi} \frac{d\psi}{2\pi} U(r_{\perp}) e^{-im\psi}.$$

Фурье-гармоника потенциала поля главной ТЕМ волны,  $\theta_0 = l/R_0$  — азимутальная протяженность пластины. Поскольку в интересующем нас случае однородная часть уравнения (6) не имеет решений, в (6) удержано слагаемое с начальным условием  $\tilde{f}_{m0} = \tilde{f}_m(I, \Delta p, \varphi, t=0)$ .

Для дальнейшего удобно сразу провести в (7) интегрирование по  $k$  и  $n$ . Интеграл по  $k$  определяется вычетом в полюсе  $kc = -\omega_{mn}$ , отвечающим излучению назад. Вклад излучения вперед ( $kc = \omega_{mn}$ ) подавлен в  $1/\gamma^2$  раз. Поэтому с ультрарелятивистской точностью ( $\gamma \gg 1$ ) из (7) получим

$$\bar{L}_{m\omega} = \frac{iNe^2 U_m(I)}{2\Pi} \int d\Gamma_{\perp} d\Delta p U_m \int_{\varphi}^{\varphi + 2\theta_0} d\varphi' \tilde{f}_{m\omega}(I, \Delta p, \varphi) \times \\ \times \left[ mv \left( \theta_0 - \frac{\varphi' - \varphi}{2} \right) - i \right] \exp \left[ \frac{mv}{2} (\varphi' - \varphi) \right], \quad (8)$$

где  $\Pi = 2\pi R_0$  — периметр орбиты.

Переходя в уравнении (6) к моментам

$$\chi_{m\omega}(\varphi) = \int d\Gamma_{\perp} d\Delta p U_m^*(I) \exp \left( \frac{imv\varphi}{2} \right) \tilde{f}_{m\omega}(I, \Delta p, \varphi),$$

перепишем его в виде

$$\chi_m(\varphi) = C_{m\omega}(\varphi) + i\Lambda \varrho(\varphi) \int_{\varphi}^{\varphi + 2\theta_0} d\varphi' \chi_m(\varphi') \left[ mv \left( \theta_0 - \frac{\varphi' - \varphi}{2} \right) - i \right]. \quad (9)$$

Здесь

$$C_{m\omega}(\varphi) = i e^{imv\varphi/2} \int \frac{d\Gamma_{\perp} d\Delta p U_m(I) \tilde{f}_m(I, \Delta p, \varphi)}{\omega - \omega_m}, \quad (10)$$

$$\Lambda = \frac{Ne^2}{\Pi} \int d\Gamma_{\perp} d\Delta p |U_m|^2 \frac{m \partial F / \partial I \cdot \tilde{f}_0(\Delta p)}{\omega - \omega_m}. \quad (11)$$

3. Уравнение (9) описывает раскачку частиц, находящихся в точке  $\varphi$ , впередиидущими частицами интервала

$$\varphi \leq \varphi' \leq \varphi + 2\theta_0.$$

Такое уравнение имеет собственные значения лишь в том случае, когда длина пучка  $\varphi_b$  удовлетворяет условию

$$\varphi_b > 2\pi - 2\theta_0.$$

Физический смысл такого условия очевиден. Частицы головы пучка должны успеть провзаимодействовать с полем, наведенным частицами хвоста. В частности, этому условию удовлетворяет  $\varrho(\varphi) = \text{const}$ , когда спектр уравнения (9) дает спектр когерентных колебаний однородного пучка.

Если выполнено противоположное условие

$$\varphi_b < 2\pi - 2\theta_0, \quad (12)$$

уравнение (9) является уравнением Вольтерра. Относительно интегральных уравнений этого класса известно [7], что они вовсе не имеют, ни собственных решений, ни собственных чисел  $\Lambda$ . В соответствии с этим отсутствует и спектр коллективных колебаний. В формальном отношении отсутствие спектра собственных значений у уравнения (9) означает, что функция Грина (резольвента) этого уравнения является целой функцией  $\Lambda$  (см. [7]).

Аналитическое решение уравнения (9) может быть найдено лишь при определенных предположениях о функции  $\varrho(\varphi)$ . Рассмотрим сначала наиболее простой случай, когда  $\varphi_b \ll 2\theta_0$ , а  $\varrho(\varphi)$  определяется формулой

$$\varrho(\varphi) = \begin{cases} \frac{1}{\varphi_b}, & 0 < \varphi < \varphi_b \\ 0, & \varphi > \varphi_b \end{cases} \quad (13)$$

Полагая, что  $f_{m0}(\varphi) \sim \varrho(\varphi)$ , подстановками

$$\omega(\varphi)\varrho(\varphi) = \chi_m(\varphi), \quad \bar{C}_m(\varphi)\varrho(\varphi) = C_m(\varphi)$$

преобразуем уравнение (9) к виду

$$\omega(\varphi) = \bar{C}_m(\varphi) + \frac{i\bar{\Lambda}}{\varphi_b} \int_{\varphi}^{\varphi_b} d\varphi' \omega(\varphi') \left[ m\nu \left( \theta_0 - \frac{\varphi' - \varphi}{2} \right) - i \right], \quad (14)$$

или с точностью до членов порядка  $\varphi_b/2\theta_0 \ll 1$ ,

$$\omega(\varphi) = \bar{C}_m(\varphi) + i\bar{\Lambda} \int_{\varphi}^{\varphi_b} d\varphi' \omega(\varphi'), \quad (15)$$

где

$$\bar{\Lambda} = \frac{\Lambda}{\varphi_b} (m\nu\theta_0 - i). \quad (16)$$

Уравнение (15) решается элементарно — преобразованием к дифференциальному уравнению, решение которого имеет вид

$$\omega(\varphi) = \bar{C}_m(\varphi) + i\bar{\Lambda} \int_{\varphi}^{\varphi_b} d\varphi' \bar{C}_m(\varphi') \exp [i\bar{\Lambda}(\varphi' - \varphi)]. \quad (17)$$

Как и должно быть, ядро этого решения  $\exp [i\bar{\Lambda}(\varphi' - \varphi)]$  является целой функцией  $\Lambda$ . Обратим внимание на еще одно свойство решения (17). Отличие  $\omega(\varphi)$  от начального значения  $\bar{C}_m(\varphi)$  нарастает при удалении от головной части пучка  $\varphi = \varphi_b$ . Это отражает то обстоятельство, что формула (17) описывает раскачку задних частиц головными.

Перейдем теперь к выяснению зависимости полученного решения от времени. Для этого следует вычислить интеграл

$$\omega_m(\varphi, t) = \int_{-\infty}^{\infty} \frac{d\omega}{2\pi} \omega_{m\omega}(\varphi) e^{-i\omega t}, \quad \text{Im}\omega > 0. \quad (18)$$

Вычислим сначала  $\omega_m(\varphi, t)$  в отсутствие разброса частот. При этом

$$i\bar{\Lambda} = \frac{\Omega_m}{\varphi_b(\omega - \omega_m)}, \quad (19)$$

где

$$\Omega_m = -\frac{Ne^2}{2\Pi} \left\langle \frac{\partial}{\partial t} |U_m|^2 \right\rangle (1 + im\nu\theta_0) m, \quad (20)$$

комплексный когерентный сдвиг частоты точечного пучка. Подстановка (19) в (17), а (17) в (18) дает

$$\omega_m(\varphi, t) = \bar{C}_m(\varphi) e^{-i\omega_m t} + \frac{\Omega_m}{\varphi_b} e^{-i\omega_m t} \int_{\varphi}^{\varphi_b} d\varphi' \bar{C}_m(\varphi') \int_{-\infty}^{\infty} \frac{d\omega}{2\pi} \frac{1}{\omega^2} \exp \left( -i\omega t + \frac{\Omega_m}{\varphi_b \omega} [\varphi' - \varphi] \right), \quad \text{Im}\omega > 0 \quad (21)$$

Значение интеграла по частотам в формуле (21) определяется вычетом подынтегрального выражения в существенно особой точке  $\omega = 0$ . Это обстоятельство является специфическим для быстрых неустойчивостей и связано с отсутствием спектра коллективных колебаний (в противном случае ядро в формуле (17) имело бы простые полюсы). Замена простых полюсов существенно особой точкой отражает то, что частицу в точке  $\varphi$  раскачивают все частицы интервала  $\varphi \leq \varphi' \leq \varphi_b$ . В свою очередь раскачивающие частицы испытывают действие впередиидущих. На каждом шаге кратность полюса  $\omega = 0$  увеличивается, а число участвующих в раскачке частиц велико.

Вычисление интеграла по  $\omega$  в (21) дает

$$\omega_m(\varphi, t) e^{i\omega_m t} = \bar{C}_m(\varphi) + \int_{\varphi}^{\varphi_b} d\varphi' \bar{C}_m(\varphi') \times \sqrt{-\frac{i\Omega_m t}{\varphi_b(\varphi' - \varphi)}} J_1 \left( \sqrt{\frac{i\Omega_m t(\varphi' - \varphi)}{\varphi_b}} \right), \quad (22)$$

где  $J_m(x)$  — функция Бесселя [8].

Из этого выражения видно, что зависимость  $\omega_m$  от времени, в общем случае, не является экспоненциальной. На малых временах  $|\Omega_m|t \ll 1$  (22) дает

$$\omega_m(\varphi, t) = \bar{C}_m(\varphi) e^{-i\omega_m t} - \frac{\Omega_m t}{2\varphi_b} e^{-i\omega_m t} \int_{\varphi}^{\varphi_b} d\varphi' \bar{C}_m(\varphi') \quad (23)$$

линейно нарастающее с  $t$  решение.

На больших временах  $|\Omega_m|t \gg 1$  поведение решения определяется асимптотикой функции Бесселя  $J_1(\chi)$ . Для упрощения вычислений рассмотрим специальный случай, когда

$$\bar{C}_m(\varphi) = C_m \delta(\varphi - \varphi_1), \quad 0 < \varphi_1 \leq \varphi_b. \quad (24)$$

При этом

$$\omega_m(\varphi, t) = 0, \quad \varphi > \varphi_1$$

и

$$\omega_m(\varphi, t) = -C_m \sqrt{-\frac{i\Omega_m t}{\varphi_b(\varphi_1 - \varphi)}} J_1\left(\sqrt{\frac{i\Omega_m t(\varphi_1 - \varphi)}{\varphi_b}}\right), \quad \varphi < \varphi_1. \quad (25)$$

Характер поведения этого решения на больших временах  $|\Omega_m|t \gg 1$  зависит от соотношения величин действительной и мнимой частей когерентного сдвига  $\Omega_m = \Omega'_m - i\delta_m$ . Пусть сначала  $|\Omega'_m| \ll \delta_m$  (или  $|m|v\theta_0 \gg 1$ ). Для согласованных пластин  $\delta_m$  положительно (20). При этом

$$\omega_m(\varphi, t) \simeq -iC_m e^{-i\omega_m t} (\varphi_1 - \varphi)^{-3/4} \left(\frac{\delta_m t}{\varphi_b}\right)^{1/4} \quad (26)$$

медленно нарастает со временем. Для других низкочастотных элементов  $\delta_m$  может быть отрицательно (см. например, [2]). В этом случае решение (25) быстро нарастает:

$$\omega_m \simeq -C_m e^{-i\omega_m t} (\varphi_1 - \varphi)^{-3/4} \left(\frac{|\delta_m|t}{\varphi_b}\right)^{1/4} \exp\left(\sqrt{\frac{|\delta_m|t(\varphi_1 - \varphi)}{\varphi_b}}\right), \quad (27)$$

с «инкрементом», зависящим от расстояния до точки возбуждения:

$$\tau_k^{-1} \simeq |\delta_m| \frac{\varphi_1 - \varphi}{\varphi_b}. \quad (28)$$

Заметим, что хотя нарастание в формуле (27) экспоненциальное, показатель экспоненты как  $\sqrt{t}$  зависит от времени. В отличие от (23), формулы (25–27) учитывают реакцию частиц, расположенных между  $\varphi_1$  и  $\varphi$ . Через время  $\sim 1/|\delta_m|$  поле, действующее на частицу в точке  $\varphi$ , становится комбинацией полей, наведенных всеми частицами этого интервала. Как видно из (17), фазы вынужденных колебаний промежуточных частиц сдвинуты относительно колебания в  $\varphi_1$  на

$$\Delta\Phi_\omega = \frac{\delta_m}{\omega} \left(1 - \frac{\varphi'}{\varphi_b}\right). \quad (29)$$

В отсутствие таких сдвигов фаз нарастание в точке  $\varphi$  было бы экспоненциальным. Интерференция же колебаний с фазами (29) приводит к уменьшению инкремента раскочки со временем, как  $1/\sqrt{t}$ .

Наконец, в случае  $|\Omega'_m| \gg |\delta_m|$  независимо от знаков  $\Omega'_m$  и  $\delta_m$  аргумент функции Бесселя в (25) является комплексной величиной. При этом асимптотика  $\omega_m$  определяется формулой (27) с заменой  $|\delta_m| \rightarrow |\Omega'_m|$  и, соответственно, инкремент нарастания колебаний будет определяться величиной когерентного сдвига частоты

$$\tau_k^{-1} = |\Omega'_m| \frac{\varphi_1 - \varphi}{\varphi_b}. \quad (30)$$

Указанные асимптотические свойства решений вообще характерны для быстрых однооборотных неустойчивостей и обусловлены резонансностью взаимодействия частиц. При демпфировании таких неустойчивостей необходимо заботиться не только о знаке вносимого декремента, но и о компенсации величины когерентного сдвига частоты. Отметим еще, что найденное асимптотическое поведение решений  $\omega_m$  сравнительно слабо зависит от формы начального возмущения  $\bar{C}_m(\varphi)$ .

Выбор плотности  $\varrho(\varphi)$  в форме ступеньки не является, конечно, принципиальным. Замена (13) произвольной гладкой функцией ведет лишь к тому, что  $\Lambda$  в (15) заменяется на  $\Lambda\varrho(\varphi')$ . При этом, например, формула (17) переходит в

$$\omega_m(\varphi) = \bar{C}_m(\varphi) + i\Lambda \int_{\varphi}^{\infty} d\varphi' \bar{C}_m(\varphi') \varrho(\varphi') \exp\left[i\Lambda \int_{\varphi}^{\varphi'} d\varphi'' \varrho(\varphi'')\right]. \quad (17a)$$

Асимптотические свойства решений фактически не меняются.

4. Обсудим некоторые пути стабилизации указанной неустойчивости. На линейной стадии развития (а только она и обсуждается в этой статье) могут быть два стабилизирующих фактора — охлаждение пучка и наличие в пучке разброса частот.

Обсудим сначала действие охлаждения. Для простоты считаем, что декременты охлаждения частиц  $\lambda$  постоянны (например, радиационное охлаждение электронов или позитронов). В этом случае величина  $i\Lambda$  в формуле (19) заменяется на

$$i\Lambda = \frac{\Omega_m}{\varphi_b} \frac{1}{\omega - \omega_m + im\lambda/2}. \quad (31)$$

Мы считаем, что  $\lambda \gg |m\Delta\omega|$  ( $\Delta\omega$  — разброс частот в пучке) — только в этом случае трение может быть существенным. При такой замене особенность в интеграле по  $\omega$  в формуле (21) смещается в точку  $\omega = -i|m|\lambda/2$ . В результате, например, формула (22) принимает вид

$$\omega_m e^{i\omega_m t} = \bar{C}_m(\varphi) + e^{-|m|\lambda t/2} \times \int_{\varphi}^{\varphi_b} d\varphi' \bar{C}_m(\varphi') \sqrt{\frac{-i\Omega_m t}{\varphi_b(\varphi' - \varphi)}} J_1\left(\sqrt{\frac{i\Omega_m t(\varphi' - \varphi)}{\varphi_b}}\right). \quad (32)$$

Поскольку интеграл в (32) нарастает не быстрее  $\exp(\sqrt{t/\tau_k})$ , видно, что начиная с

$$t_0 = \frac{4}{m^2 \lambda^2 \tau_k}, \quad (33)$$

колебания будут затухать. При этом, конечно, должно выполняться условие

$$t_0 \omega_c \ll 1,$$

или

$$m\lambda \gg 2 \sqrt{\frac{\omega_c}{\tau_k}} = \frac{2}{\tau_k} \sqrt{\omega_c \tau_k}.$$

Видно, что при выполнении условия (1), стабилизация колебаний трением вообще не требует превышения декрементами охлаждения инкрементов нарастания. Отметим также, что охлаждение особенно эффективно для подавления колебаний высокой мультипольнос-

ти. При увеличении номера  $m$  инкременты неустойчивости падают, а вносимые трением декременты растут, как  $m\lambda$ . Это замечание относится, конечно, только к тем случаям, когда разброс частот в пучке мал, настолько, что и для обсуждаемых высоких  $m$  выполнено условие  $\lambda \gg |m|\Delta\omega$ .

Перейдем к обсуждению действия разброса частот. Для быстрых неустойчивостей разброс частот в пучке  $\Delta\omega$  может быть обусловлен двумя факторами: нелинейностью фокусирующих полей  $v = v(a)$  и хроматизмом фокусировки  $\omega_z = \omega_z(\Delta p)$ . В общем случае действие этих факторов зависит от вида стационарного распределения. Для оценки рассмотрим простейший случай, когда  $\Delta\omega = (d\omega/dp)\Delta p$ , а распределение по импульсам в пучке лоренцево. При этом

$$i\Lambda = \frac{\Omega_m}{\varphi_b} \frac{1}{\omega - \omega_m + i|m\Delta\omega|},$$

а стабилизация колебаний будет обеспечиваться множителем  $\exp(-|m\Delta\omega|t)$  перед интегралом в (32). «Критерий устойчивости» (33) при этом переходит в

$$t > t_0 = \frac{1}{(m\Delta\omega)^2 \tau_k}. \quad (34)$$

К аналогичному условию приводит анализ с распределениями весьма общего вида. На больших временах значение интеграла по  $\omega$  в (21) определяется окрестностью точки, в которой фаза выражения

$$\exp\left[-i\omega t + \Omega_m \frac{\varphi' - \varphi}{\varphi_b} \int \frac{d\varepsilon f(\varepsilon)}{\omega - \varepsilon}\right] = e^{-i\Phi(\omega)}$$

стационарна ( $f(\varepsilon)$  — распределение частот в пучке). Условие стационарности  $d\Phi/d\omega = 0$  приводит к «дисперсионному уравнению»

$$1 = -\frac{i\Omega_m}{t} \frac{\varphi' - \varphi}{\varphi_b} \frac{d}{d\omega} \int \frac{d\varepsilon f(\varepsilon)}{\omega - \varepsilon}. \quad (35)$$

Для гладких распределений  $f(\varepsilon)$ , в области

$$\frac{|\Omega_m|}{t} \frac{\varphi' - \varphi}{\varphi_b} \gg (m\Delta\omega)^2$$

решение такого уравнения имеет вид

$$\omega = \pm \sqrt{\frac{i\Omega_m \varphi' - \varphi}{t \varphi_b}}$$

Отсюда видно, что при нарушении (34) колебания нарастают. При выполнении условия (34) решение (35) близко к  $\omega \simeq -i|m\Delta\omega|$  (см. например, [6]), чему отвечает затухание колебаний.

Еще один метод подавления был предложен в работе [4], где похожая неустойчивость анализировалась в связи с динамикой пучка во ВЛЭПП. Этот метод состоит в ведении вдоль пучка такого градиента частот бетатронных колебаний, чтобы задние частицы выходили из резонанса с передними. Практически это может быть реализовано, например, раскладкой энергии вдоль пучка и использованием хроматизма фокусировки.

Получим  $\omega_m(\varphi, t)$  для наиболее простого случая, когда частота  $\omega_z(\varphi) = \omega_z + \kappa\varphi$  является линейной функцией  $\varphi$ . Разброс импульсов в пучке считаем равным нулю. Поскольку  $\Lambda$  теперь является функцией  $\varphi$ , формула (17) должна быть переписана в виде:

$$\omega_{m\omega}(\varphi) = \bar{C}_{m\omega}(\varphi) + i\bar{\Lambda}_{m\omega}(\varphi) \int_{\varphi}^{\varphi_b} d\varphi' \bar{C}_{m\omega}(\varphi') \exp\left[i \int_{\varphi}^{\varphi'} d\varphi'' \bar{\Lambda}_{m\omega}(\varphi'')\right] \quad (36)$$

и, соответственно, вместо (21) имеем:

$$\omega_m(\varphi, t) = \bar{C}_m(\varphi) \exp(-i\omega_m(\varphi)t) + e^{-i\omega_m(\varphi)t} \int_c^{\varphi_b} \frac{d\omega}{2\pi} \frac{\Omega_m}{\varphi_b \omega} \int_{\varphi}^{\varphi_b} \frac{\bar{C}_m(\varphi')}{\omega - \kappa m(\varphi' - \varphi)} \exp\left[-i\omega t + \int_{\varphi}^{\varphi'} \frac{d\varphi'' \Omega_m / \varphi_b}{\omega - \kappa m(\varphi'' - \varphi)}\right] d\varphi', \quad (37)$$

а контур интегрирования по  $\omega$  проходит от  $-\infty$  до  $+\infty$  выше особенностей подынтегрального выражения.

Изучим сначала поведение функции Грина решения (37). Для этого подставим в (37) начальное возмущение (24)

$$\omega = 0 \quad \varphi > \varphi_1$$

$$\omega(\varphi, t) = C_m \exp(-i\omega_m(\varphi)t) \frac{d}{du} I(\chi ut), \quad (38)$$

где

$$I(\chi ut) = \int_c^1 \frac{dz}{2\pi z} \exp\left[a_m \int_0^1 \frac{d\xi}{z - \xi} - iz\chi ut\right], \quad (39)$$

$u = \varphi_1 - \varphi$ ,  $a_m = \Omega_m / m\Delta\omega$ ,  $\Delta\omega$  — разница частот колебаний частиц головы и хвоста сгустка  $\Delta\omega = \kappa\varphi_b$ . В отличие от (21) подынтегральное выражение в (39) является аналитической функцией в плоскости  $z$  с разрезом, идущим из точки  $z=0$  в точку  $z=1$ . Поэтому интеграл (39) может быть вычислен стягиванием контура интегрирования к разрезу<sup>1)</sup>. Результат интегрирования записывается в виде

$$I = -ie^{-im\chi ut} F(1 - a_m, 1, im\chi ut), \quad (40)$$

где  $F(\alpha, j, x)$  — вырожденная гипергеометрическая функция [8]. Подставив это выражение в (38), после вычисления производной получим

$$\omega_m(\varphi, t) = -C_m \frac{\Omega_m t}{\varphi_b} e^{-im\chi ut} F\left(1 - \frac{\Omega_m}{m\Delta\omega}, 2, im\chi ut\right) e^{-i\omega_m(\varphi)t}. \quad (41)$$

Пользуясь представлением  $F(\alpha, j, x)$  степенным рядом, легко проверить, что при  $\kappa \rightarrow 0$  формула (41) переходит в формулу (25).

Для определения условий устойчивости при произвольном  $\Delta\omega$  воспользуемся асимптотическим представлением  $F\left(1 - \frac{\Omega_m}{m\Delta\omega}, 2, im\chi ut\right)$  [8]:

$$F \sim \frac{(e^{i\pi} m\chi ut)^{\frac{\Omega_m}{m\Delta\omega} - 1}}{\Gamma(1 + \Omega_m / m\Delta\omega)} + e^{im\chi ut} \frac{(im\chi ut)^{-\frac{\Omega_m}{m\Delta\omega} - 1}}{\Gamma(1 + \Omega_m / m\Delta\omega)}$$

В результате, для  $\omega(\varphi, t)$  получим

$$\omega \sim -\frac{\Omega_m}{\xi \chi u \varphi_b} \left\{ A \cdot (\chi m u t)^{\frac{\Omega_m}{m\Delta\omega}} + B \cdot (m\chi u t)^{-\frac{\Omega_m}{m\Delta\omega}} \right\}, \quad (42)$$

где  $A$  и  $B$  — ненарастающие функции времени. Из (42) видно, что решения могут быть устойчивы лишь при  $\text{Re } \omega_m = 0$ . Если же вели-

<sup>1)</sup> Другой способ вычисления  $I$  сводится к преобразованию подынтегрального выражения в (39) с помощью формулы:

$$x^a = \frac{1}{\Gamma(a)} \int_0^\infty d\xi \xi^{a-1} e^{-\xi/x},$$

после чего интеграл по  $z$  переходит в одно из представлений функции Бесселя  $J_0(2\sqrt{i\xi\chi ut})$ .



чина когерентного сдвига частоты  $\text{Re } \omega_m$  отлична от нуля, то при произвольных величине и знаке отношения  $(\Omega_m/m\Delta\omega)$  одно из слагаемых в (42) будет отвечать раскачке колебаний. Вместе с тем видно, что уменьшение  $(\Omega_m/m\Delta\omega) \ll 1$  может существенно замедлить развитие неустойчивости.

Вообще же, следует отметить, что стабилизирующее действие раскладки частот зависит от распределения начального возмущения вдоль пучка. При произвольном  $C_m(\varphi)$  решение  $\omega_m$  определяется формулой (37):

$$\omega_m(\varphi, t) = C_m(\varphi) e^{-i\omega_m(\varphi)t} - e^{-i\omega(\varphi)t} \Delta\omega,$$

где

$$\Delta\omega = \int_0^{\varphi_b - \varphi} du C_m(u + \varphi) \frac{\Omega_m t}{\varphi_b} e^{-im\chi u t} F\left(1 - \frac{\Omega_m}{m\Delta\omega}, 2, im\chi u t\right). \quad (43)$$

Из этого выражения видно, что асимптотическое поведение  $\Delta\omega$  определяется формулой (42), если  $C(\varphi)$  сосредоточено на достаточно коротком интервале  $\Delta\varphi$ :

$$\frac{\Delta\varphi}{\varphi_b} \ll \frac{1}{|m\Delta\omega|t}. \quad (44)$$

В обратном предельном случае  $C(u + \varphi)$  в (43) можно считать медленной функцией и вынести ее за знак интеграла. Интегрирование оставшегося выражения дает

$$\Delta\omega = C[F(\alpha_m, 1, im\chi u t) - 1]_{u=\varphi_b-\varphi}. \quad (45)$$

На больших временах  $|m\chi u|t \gg 1$  это выражение имеет вид

$$\Delta\omega \sim \left\{ \frac{(-im\chi u t)^{-\alpha_m}}{\Gamma(1-\alpha_m)} + \frac{e^{im\chi u t}}{\Gamma(\alpha_m)} (im\chi u t)^{\alpha_m-1} - 1 \right\}.$$

Отсюда получаем условие устойчивости пучка относительно протяженных возмущений  $(\Delta\varphi/\varphi_b \gg 1/(|m\Delta\omega|t))$ :

$$0 < \frac{\text{Re } \Omega_m}{m\Delta\omega} < 1. \quad (46)$$

Мелкомасштабные возмущения (44) при выполнении этого условия, вообще говоря, не стабилизируются. Причиной их появления

может быть, например, тепловое движение частиц пучка.

5. Устойчивость колебаний длинных пучков  $\varphi_b \gg 2\theta_0$  можно исследовать следующим образом. Интервал  $\varphi_b$  разбивается на отрезки длиной  $2\theta_0$ . Решение  $\omega_{m\omega}$  представляется суммой

$$\omega_{m\omega} = \sum_{l=1}^{\infty} \omega_{m\omega}^{(l)}(\varphi),$$

в которой слагаемые  $\omega^{(l)}$  определены на отрезках

$$\varphi_b - 2l\theta_0 \leq \varphi' \leq \varphi_b - (l-1)2\theta_0, \quad l=1, 2, \dots$$

При этом, если выполнено условие (12), уравнение для  $\omega^{(1)}$  содержит только  $\omega^{(1)}$  и  $C$ , а на остальных участках, помимо начального возмущения  $C(\varphi)$ , действует возмущение от предыдущего участка. Решение  $\omega^{(1)}$  определяется формулой (17a), а остальные  $\omega^{(l)}$  могут быть получены с помощью рекуррентных формул, следующих из уравнения (14). Эти формулы имеют весьма громоздкий вид и потому здесь не приводятся.

6. Описание быстрых неустойчивостей из-за взаимодействия пучка с другими низкодобротными элементами отличается от рассмотренных лишь связью когерентного сдвига  $\Omega_m$  с функцией Грина полей, возбуждаемых в этом элементе. При этом, из-за резонансности взаимодействия частиц, времена нарастания колебаний определяются числом впереди идущих частиц

$$\tau_k^{-1} \sim \Omega_m \int_{\varphi}^{\varphi_b} d\varphi' \varrho(\varphi'),$$

а устойчивость колебаний определяется свойствами когерентного сдвига, вычисленного для пучка нулевой длины  $\Omega_m$ .

Перечислим некоторые следствия полученных здесь результатов. Видно, что при демпфировании когерентных колебаний сгруппированного пучка (пассивными, либо активными низкодобротными системами) величины вносимых декрементов в общем не должны превышать частоту синхротронных колебаний. В противном случае колебания могут оказаться неустойчивыми из-за больших вносимых системой величин когерентного сдвига частоты. Поэтому при столь быстром демпфировании необходимо заботиться не только о величине вносимого декремента, но и о компенсации когерентного сдвига.

В последнее время все более интенсивно обсуждаются неустойчивости поперечных когерентных колебаний из-за связи синхро-

тронных мод (см. например, [9]). Проведенный анализ показывает, что вычисление спектра когерентных колебаний в таких задачах имеет смысл лишь тогда, когда взаимодействие связывает сравнительно небольшое число мод (скажем две, три). Поскольку число мод определяется отношением  $|\Omega_m|/\omega_c$ , при большем числе связанных мод оказывается выполненным условие (1). В этом случае характер развития колебаний будет близок к рассмотренному выше.

Автор благодарен Н.С. Диканскому за многочисленные советы и интерес к работе, а также Б.Н. Брейзману, А.В. Бурову, А.В. Новохатскому и В.В. Пархомчуку за обсуждение затронутых в работе вопросов.

#### ЛИТЕРАТУРА

1. Дербенев Я.С., Диканский Н.С. Препринт ИЯФ № 315, СО АН СССР, Новосибирск, 1969.
2. Диканский Н.С. Кандидатская диссертация. ИЯФ СО АН СССР Новосибирск, 1969.
3. Ruth R.D., Wang J.M. IEEE Trans. on Nucl. Science, NS-28, № 3, 2405, 1981.
4. Балакин В.Е., Будкер Г.И., Скринский А.Н. В кн.: Труды VI Всесоюзного совещания по ускорителям заряженных частиц (Дубна, 1978) Дубна, 1979, т.1; Балакин В.Е., Кооп И.А., и др. там же с.142—146.
5. Balakin V.E., Novokhatsky A.V., Smirnov V.P. Proc. of the XII Intern. Conf. on High-Energy Accelerators (Fermilab August 11—16, 1983) FNAL, Batavia (Ill.) 1983, p.119—120
6. Дербенев Я.С., Диканский Н.С., Пестриков Д.В. Препринт ИЯФ 7-72. Новосибирск 1972; CERN Transl. № 72-16. Geneva, 1972.
7. Смирнов В.И. Курс высшей математики. М.:Физматгиз, 1958. с.812.
8. Градштейн И.С., Рыжик И.М. Таблицы интегралов, сумм, рядов и произведений. М.:Физматгиз, 1962. с.1100.
9. Kohaupt R.D. DESY Report 80/22, 1980.

Д.В. Пестриков

#### Быстрые однооборотные неустойчивости поперечных когерентных колебаний сгруппированных пучков.

Ответственный за выпуск С.Г.Попов

Работа поступила 13 июня 1985 г.

Подписано в печать 9 августа 1985 г. МН 06697

Формат бумаги 60×90 1/16 Объем 1,4 печ.л., 1,1 уч.-изд.л.

Тираж 290 экз. Бесплатно. Заказ № 105

Набрано в автоматизированной системе на базе фото-наборного автомата ФА1000 и ЭВМ «Электроника» и отпечатано на ротапинтере Института ядерной физики СО АН СССР, Новосибирск, 630090, пр. академика Лаврентьева, 11.